

УДК 539.3:534.1

**ИССЛЕДОВАНИЕ ПЕРЕХОДНЫХ ПРОЦЕССОВ В ОБОЛОЧЕЧНЫХ
КОНСТРУКЦИЯХ НА ОСНОВЕ СХЕМЫ
С МИНИМАЛЬНОЙ ДИСПЕРСИЕЙ**

МАЛЫШЕВ А. П.

Реакция конструкций на импульсное воздействие представляет собой результат взаимодействия волн возмущения, которые в процессе распространения отражаются от граничных контуров, свободных поверхностей и других неоднородностей конструкции. При этом на фронтах волн могут иметь место разрывы как кинематических, так и силовых параметров волнового процесса.

В [1, 2] для расчета волновых процессов был предложен эффективный метод сеток с предварительным аналитическим выделением разрывов, имеющий широкое применение для решения широкого класса динамических проблем (см., например, [3, 4]). Вместе с тем, если имеется значительное количество границ связности, что характерно для составных оболочечных конструкций, и волновой процесс рассматривается в течение значительного отрезка времени, когда наблюдаются многократные отражения элементарных волн, анализируемая волновая картина принимает весьма сложный вид. Необходимость следить за положением фронтов элементарных волн при использовании указанного метода приводит в этих случаях к быстрому усложнению логической схемы алгоритма, увеличению потребного объема машинной памяти и времени счета. Поэтому для анализа подобных волновых процессов более удобным оказывается использование так называемых методов сквозного счета [5–7], которые позволяют не следить в ходе расчета за положением элементарных волн возмущений. Однако, если $c_i \Delta t < \Delta \alpha$, где c_i – скорость распространения возмущения, схема [5], оставаясь монотонной, проявляет значительную сеточную вязкость, которая может существенно исказить решение – особенно при рассмотрении переходного процесса большой длительности. Другие схемы сквозного счета в этом случае описывают ложные осцилляции решения в окрестности разрывов и в областях с высокими градиентами решения.

Тем не менее одномерный волновой процесс в упругой изотропной оболочке, согласно модели Тимошенко, характеризуется двумя скоростями распространения возмущений [8]: c_1 – для продольных и изгибных возмущений и $c_s = k_s ((1-\mu)/2)^{1/2}$ – для свдвиговых, k_s – коэффициент свдвига, μ – коэффициент Пуассона. В анизотропной оболочке одномерный волновой процесс характеризуется уже тремя скоростями. Даже если воспользоваться сеткой $c_m \Delta t = \Delta \alpha$ (c_m – максимальная скорость распространения возмущений), которая согласно условию Куранта, Фридрихса и Леви [6] выводит разностную схему на границу устойчивости, то для остальных скоростей $c_i \Delta t < \Delta \alpha$ и эта часть решения может быть существенно исказена в процессе расчета.

В данной работе используется модификация схемы сквозного счета, обеспечивающая снижение сеточной вязкости и ложных осцилляций путем минимизации дисперсии решения. Эффективность схемы исследуется на модельных задачах для цилиндрической оболочки и оболочечной конструкции.

1. Рассмотрим следующую задачу Коши:

$$\begin{aligned} N' - a_1 U' &= 0, & N' - a_2 U' &= 0, & U(0, \alpha) &= G_1(\alpha) \\ N(0, \alpha) &= G_2(\alpha), & (\dots)' &= \partial(\dots)/\partial \alpha, & (\dots)^\cdot &= \partial(\dots)/\partial t \end{aligned} \quad (1.1)$$

Решение ищется на равномерной сетке с шагами $\Delta \alpha$ и Δt . Узлы на промежуточных временных слоях $t = (k-1/2) \Delta t$ ($k=1, 2, \dots$) имеют координаты $\alpha_n = n \Delta \alpha$ ($n = \dots, -1, 0, 1, \dots$). Узлы на основных слоях $t = k \Delta t$ имеют координаты $\alpha_{n-1/2} = (1/2)(\alpha_{n-1} + \alpha_n)$. Для сеточных функций Φ исполь-

зуются обозначения: $\Phi_{n-\frac{1}{2}}$ — в узлах основного слоя $t=t_0$, Φ_n — в узлах промежуточного слоя $t=t_0+\frac{1}{2}\Delta t$, $\Phi^{n-\frac{1}{2}}$ — в узлах слоя $t=t_0+\Delta t$.

Значения функций на следующем основном слое определяются расчетными соотношениями типа «крест»

$$\begin{aligned} U^{n-\frac{1}{2}} = & U_{n-\frac{1}{2}} + k_\alpha a_1^{-1} c^{-1} (N_n - N_{n-1}), \quad N^{n-\frac{1}{2}} = N_{n-\frac{1}{2}} + \\ & + a_2 c^{-1} k_\alpha (U_n - U_{n-1}), \quad k_\alpha = c \Delta t / \Delta \alpha, \quad c = (a_2/a_1)^{\frac{1}{2}} \end{aligned} \quad (1.2)$$

Для вычисления функций в узлах промежуточного слоя используются соотношения на характеристиках, пересекающихся в этих узлах

$$N_n \pm a_1 c U_n = (N \pm a_1 c U) \pm \quad (1.3)$$

(плюс в индексе указывает, что функция определена в точке пересечения α_+ соответствующей характеристики со слоем $t=t_0$ справа от α_n ; минус — указывает на аналогичную точку α_- слева от α_n). Для вычисления параметров в этих точках воспользуемся интерполяцией функций по их значениям в соседних узлах

$$f_\pm = f_{n \mp \frac{1}{2}} + x (f_{n \mp \frac{1}{2}} - f_{n \pm \frac{1}{2}}) + y (f_{n \mp \frac{1}{2}} - 2f_{n \pm \frac{1}{2}} + f_{n \pm \frac{3}{2}}) \quad (1.4)$$

После подстановки (1.4) и (1.3) в (1.2) выражение для U на слое $t=t_0+\Delta t$ принимает вид

$$\begin{aligned} U^{n-\frac{1}{2}} = & U_{n-\frac{1}{2}} + k_\alpha b^{-1} [\frac{1}{2} (N_{n+\frac{1}{2}} - N_{n-\frac{1}{2}}) + (\frac{1}{2} - x) b (U_{n+\frac{1}{2}} - 2U_{n-\frac{1}{2}} + \\ & + U_{n-\frac{3}{2}}) + \frac{1}{2} y (N_{n+\frac{3}{2}} - 2N_{n+\frac{1}{2}} + 2N_{n-\frac{1}{2}} - N_{n-\frac{3}{2}}) + \frac{1}{2} by (U_{n+\frac{3}{2}} - \\ & - 4U_{n+\frac{1}{2}} + 6U_{n-\frac{1}{2}} - 4U_{n-\frac{3}{2}} + U_{n-\frac{5}{2}})], \quad b = ca_1 \end{aligned} \quad (1.5)$$

Если N и U — достаточно гладкие функции, то с учетом формул численного дифференцирования [9] и связи производных в уравнениях (1.1) при $\Delta t / \Delta \alpha = \text{const}$ и (1.5) будем иметь

$$U^{n-\frac{1}{2}} = U_{n-\frac{1}{2}} + \Delta t U_{n-\frac{1}{2}} + (\frac{1}{2} - x) k_\alpha a_1 a_2^{-1} \Delta \alpha^2 U_{n-\frac{1}{2}} + R \quad (1.6)$$

$$R = \frac{1}{2} y [\Delta t b^{-1} O(\Delta \alpha^2) + \Delta t \Delta \alpha^3 U_{n-\frac{1}{2}}^{\text{IV}}] + O(\Delta \alpha^3) = (y+1) O(\Delta t^3)$$

Результаты для N аналогичны и для краткости здесь не приводятся.

Полученное двухпараметрическое семейство разностных схем включает в себя, в частности, схему Годунова [5] первого порядка точности: $x=y=0$ (схема 1) и схему Лакса — Вендроффа [6] второго порядка точности: $y=0$, $x=\frac{1}{2}(1-k_\alpha)$ (схема 2).

В схеме работы [10] также используется линейная интерполяция ($x \neq 0$, $y=0$), однако коэффициент при x вычисляется для разных узлов по различным зависимостям, которые подбираются таким образом, чтобы обеспечить минимальную особенность градиента решения. Эта схема имеет, вообще говоря, первый порядок точности.

Пусть

$$x = \frac{1}{2}(1-k_\alpha), \quad y = Ax(x-1)/2 = -A(1-k_\alpha^2)/8 \quad (1.7)$$

При $A=1$ эти значения x и y соответствуют параболической интерполяции по формуле Гаусса для интерполирования вперед [9].

Для определенности примем $a_1=a_2=1$, причем

$$G_1(\alpha) = 1, \quad G_2(\alpha) = -1 \quad (n-\frac{1}{2} < 0) \quad (1.8)$$

$$G_1(\alpha) = G_2(\alpha) = 0 \quad (n-\frac{1}{2} > 0)$$

В качестве меры дисперсии решения используется величина

$$\sigma = \left(\sum_{n=-K}^K (U^{n-\frac{1}{2}} - U_0)^2 \right)^{\frac{1}{2}} \quad (1.9)$$

Здесь $U_0 = U_0(\alpha_{n-\frac{1}{2}}, t)$ — известное точное решение задачи (1.1) при начальных условиях (1.8). Величина K выбирается достаточно большой, чтобы обеспечить сходимость суммы (1.9).

На фиг. 1, а показана зависимость $\sigma(A, k_a)$ при $\Delta\alpha = \text{const}$ в момент времени, когда фронт волны возмущения пройдет расстояние $\alpha = 6\Delta\alpha$. Видно, что дисперсия достигает минимума при $A = A_0(k_a)$. На фиг. 1, б штриховой линией показана дисперсия решения для схемы 1, штрихпунктирной — для $A = A_0$. Значение $A = 0$ соответствует схеме 2.

На фиг. 2 показаны расчетные профили волны U , распространяющейся слева направо, которые соответствуют различным значениям A . Пунктирная линия соответствует схеме 1. С увеличением $A \geq 0$ возрастают искажения решения перед фронтом волны и уменьшаются его осцилляции за фронтом. Увеличение градиента решения на фронте волны с ростом A свидетельствует об уменьшении сеточной вязкости схемы. При $A = 1$ искажения решения малы и близки к симметричным относительно фронта волны.

Таким образом, применение параболической аппроксимации (1.4), (1.7) на предыдущем основном временном слое, хотя и не повышает порядок точности схемы выше второго, но при $A = A_0$ минимизирует дисперсию разностного решения относительно точного решения. При изменении A на отрезке $1 \leq A \leq A_0$, как видно из приведенных на фиг. 1, б результатов, дисперсия меняется незначительно. Поэтому можно принять $A = 1$ для всех значений k_a (схема 3). Методом Фурье несложно показать, что необходимым условием устойчивости схемы 3 является условие Куранта, Фридрихса и Леви: $k_a \leq 1$. Во всех приведенных расчетах соблюдение этого условия обеспечивало устойчивость схемы.

При рассмотрении краевых задач для узлов, примыкающих к границам, вместо (1.4) можно применить интерполяционную формулу, в которой используются нецентральные разности

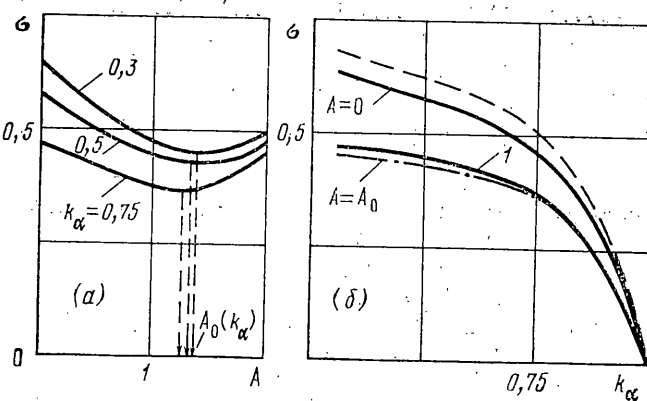
$$f_{\pm} = f_{n \pm \frac{1}{2}} + x(f_{n \pm \frac{1}{2}} - f_{n \pm \frac{1}{2}}) + y(f_{n \pm \frac{1}{2}} - 2f_{n \pm \frac{1}{2}} + f_{n \pm \frac{5}{2}}) \quad (1.10)$$

где x, y определяются выражениями (1.7) и $A = 1$.

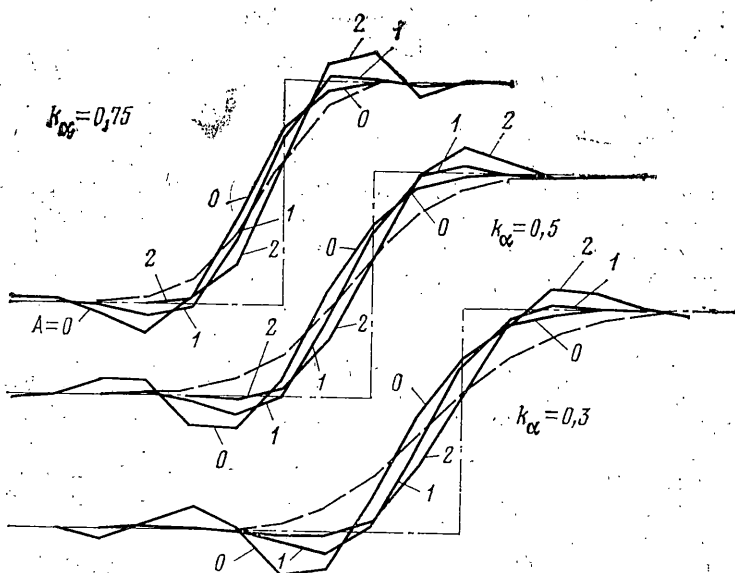
2. Осесимметричное движение однородных оболочек вращения с учетом сдвига и инерции сечений описывается системой уравнений [8]:

$$\begin{aligned} hU' &= N_1' + B_1(N_1 - N_2) + TR_1^{-1}, \quad hW' = T' - N_1R_1 - N_2R_2 + \\ &+ B_1T + P_3, \quad h^3\Phi' = M_1' + B_1(M_1 - M_2) + \gamma Q_1 \\ U &= u', \quad W = w', \quad \Phi = \varphi', \quad B_1 = B'/B, \quad T = N_1\theta + Q_1 \\ \theta &= w' - uR_1^{-1}, \quad \alpha = \alpha^o/A_0, \quad t = t^o c_0/A_0, \quad u = u^o/A_0 \\ w &= w^o/A_0, \quad B = B^o/A_0, \quad h = h^o/h_0, \quad N_j = N_j^o/b_0 \\ M_j &= M_j^o \gamma / (b_0 m_0), \quad R_j = R_j^o / A_0 \quad (j=1, 2) \\ \gamma &= 12(A_0/h_0)^2, \quad Q_1 = Q_1^o / b_0, \quad P_3 = P_3^o b_0 / A_0 \\ c_0 &= (b_0/m_0)^{\frac{1}{2}}, \quad m_0 = \rho h_0, \quad b_0 = E h_0 / (1 - \mu^2) \end{aligned} \quad (2.1)$$

Здесь E , μ , ρ — соответственно модуль упругости, коэффициент Пуассона и плотность материала, N_j^o и M_j^o — усилия и изгибающие моменты, причем $j=1$ соответствует меридиональному направлению, $j=2$ — окружному, Q_1^o — перерезывающая сила, P_3^o — нормальное давление, h^o — толщина оболочки, B^o — радиус направляющей, R_1^o и R_2^o — главные радиусы кривизны срединной поверхности, t^o — время, h_0 — характерная толщина, A_0 — коэффициент Ламэ для координаты α .



Фиг. 1



Фиг. 2

Силовые факторы связаны с перемещениями срединной поверхности соотношениями

$$\begin{aligned} N_1 &= h(\varepsilon_1 + \mu \varepsilon_2), \quad M_1 = h^3(\kappa_1 + \mu \kappa_2) \quad (i=2) \\ Q_1 &= g \varepsilon_{1z}, \quad g = k_s^2 h (1 - \mu) / 2, \quad \varepsilon_1 = u' + w R_1^{-1} + \theta^2 \\ \varepsilon_2 &= B_1 u + w R_2^{-1}, \quad \kappa_1 = \varphi', \quad \kappa_2 = B_1 \varphi, \quad \varepsilon_{1z} = \theta - \varphi, \quad k_s^2 = 5/6 \end{aligned} \quad (2.2)$$

Параметры переходного процесса на слое $t = t_0 + \Delta t$ определяются системой уравнений

$$\begin{aligned} N_j^* &= l_{j4} U_*^* + l_{j5} W_*^* + Y_j, \quad M_j^* = l_{j6} \Phi_*^* + Y_{j+2} \\ Q_1^* &= l_{54} U_*^* + l_{56} \Phi_*^* + Y_5 \quad (j=1, 2) \\ hU^* &= B_t (N_1^* - N_2^*) - k_{t1} T_*^* + Y_6 \\ hW^* &= B_t T_*^* - k_{t1} N_1^* - k_{t2} N_2^* + Y_7 \\ h^3 \Phi^* &= B_t (M_1^* - M_2^*) + \gamma_t Q_1^* + Y_8 \\ l_{14} &= h(\mu B_t - \theta * k_{t1}), \quad l_{24} = h(B_t - \mu \theta * k_{t1}), \quad l_{15} = h(k_{t1} + \mu k_{t2}) \\ l_{25} &= h(k_{t2} + \mu k_{t1}), \quad l_{j6} = h^2 l_{j4}, \quad l_{54} = -g k_{t1}, \quad l_{56} = -g \Delta t \\ B_t &= B_1 \Delta t, \quad k_{t1} = \Delta t / R_1, \quad k_{t2} = \Delta t / R_2, \quad \gamma_t = \gamma \Delta t \end{aligned} \quad (2.3)$$

$$\begin{aligned} (\dots)_\Delta &= [(\dots)_n - (\dots)_{n-1}] \Delta t / \Delta \alpha, \quad (\dots)_* = \frac{1}{2} [(\dots)_* + (\dots)_*], \quad Y_1 = h(U_\Delta + \theta_* W_\Delta) + N_1, \\ Y_2 &= \mu h(U_\Delta + \theta_* W_\Delta) + N_2, \quad Y_3 = h^3 \Phi_\Delta + M_1, \\ Y_4 &= \mu h^3 \Phi_\Delta + M_2, \quad Y_5 = g W_\Delta + Q_1, \quad Y_6 = N_{1\Delta} + h U, \\ Y_7 &= T_\Delta + h W_* + P_{3*} \Delta t, \quad Y_8 = M_{1\Delta} + h^3 \Phi_* \end{aligned}$$

Индекс $(n-1/2)$ для краткости заменен на $(*)$.

Параметры на промежуточном слое $t=t_0+1/2\Delta t$ вычисляются при помощи соотношений на характеристиках линеаризованной системы (2.1), (2.2):

(2.4)

$$\begin{aligned} N_{1n} + f_{1r} U_n &= F_{1r}, \quad T_n + f_{2r} W_n = F_{2r}, \quad M_{1n} + f_{3r} \Phi_n = F_{3r}, \\ f_{1r} &= rh, \quad f_{2r} = c_s rh, \quad f_{3r} = rh^3, \quad c_s = k_s ((1-\mu)/2)^{1/2} \\ r &= -\text{sign}(\tan \eta), \quad F_{1r} = \{N_1 + f_{1r} U + \frac{1}{2} [l_{14} U + l_{15} W + r(B_t(N_1 - N_2) - Tk_{t1})]\}_r, \dots \end{aligned}$$

Здесь η — угол наклона характеристики в плоскости at .

Рассмотрим волновой процесс в полубесконечной цилиндрической оболочке, левому торцу $\alpha=0$ которой сообщается скорость $U_0=10^{-3} H(t)$, где $H(t)$ — функция Хевисайда. Остальные граничные условия на этом торце: $W=0$, $\Phi=0$. В качестве A_0 принимается радиус срединной поверхности, $A_0/h^\circ=50$, $\mu=0,33$. Для разностной сетки выбрано $\Delta t/\Delta \alpha=0,75$.

Задача о торцевом ударе цилиндрической оболочки исследовалась, в частности, в [11, 12] аналитически, в [13] — методом характеристик, в [14] — с помощью схемы 1. Подробно эта задача исследована в [3, 4].

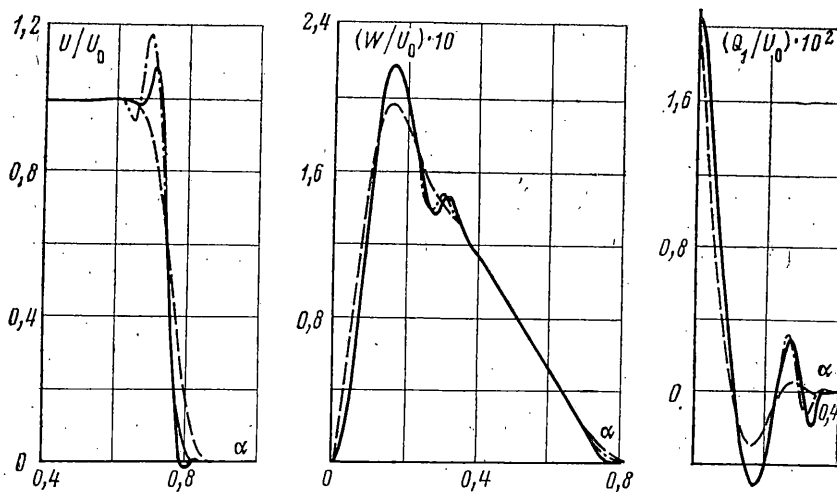
На фиг. 3 приведены профили волн U , W и Q_1 в момент времени, когда фронт возмущения, распространяющегося со скоростью продольных волн, пройдет расстояние $\alpha=0,75$. Сплошной линией показано решение, полученное по схеме 3, пунктирной — по схеме 1, штрихпунктирной — по схеме 2.

Характер сходимости виден из результатов, приведенных на фиг. 4. Профили на фиг. 4, а рассчитаны по схеме 1, на фиг. 4, б — по схеме 2, на фиг. 4, в — по схеме 3. Сплошные линии соответствуют $\Delta t=0,01$, пунктирные — 0,02, штрихпунктирные — 0,04.

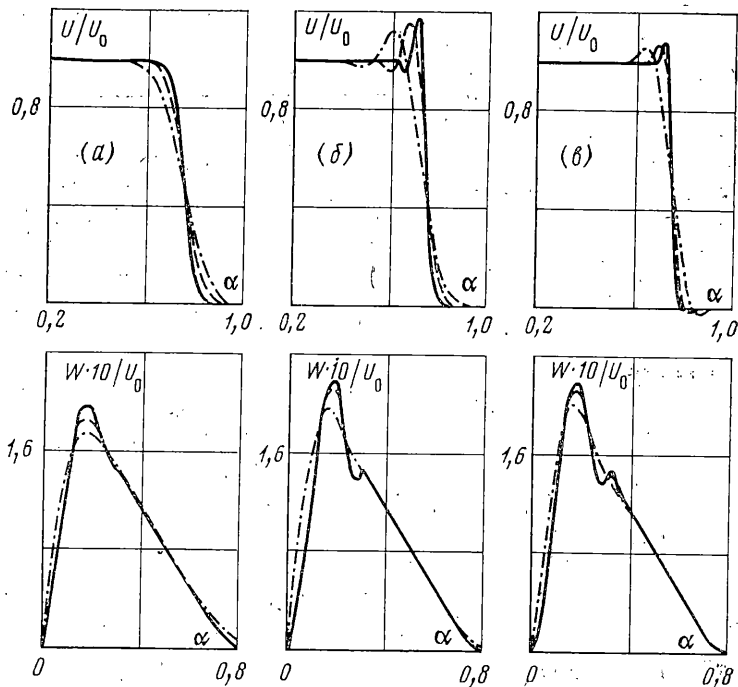
Анализ результатов позволяет заключить, что схема 1, проявляя большую сеточную вязкость, приводит к сглаживанию решения, занижая максимальное значение W на 10% и смазывая характерные детали изменения W за фронтом, распространяющимся со скоростью c_s . Это детали хорошо выявляют расчеты по двум другим схемам уже при $\Delta t=0,02$. Отметим, что сходимость для W при расчете по схеме 1 с $\Delta t=0,01$ такая же, как по схемам 2 и 3 с $\Delta t=0,04$.

Схема 3 по сравнению со схемой 2 более, чем вдвое уменьшает амплитуду ложных осцилляций U в окрестности разрыва и вдвое сужает область, где они наблюдаются.

На фиг. 5 показано изменение по времени осевой деформации ϵ_1 в точке $\alpha=0,5$ на внутренней поверхности цилиндрической оболочки, правый торец $\alpha=1,5$ которой свободен: $N_1=T=0$, $M_1=0$. Условия нагружения, геометрические параметры оболочки и $\Delta t/\Delta \alpha$ такие же, как и в предыдущей задаче. Пунктирная линия соответствует результату, полученному по схеме 1, сплошная — по схеме 3. Из сравнения результатов видно, что схема 3 практически не приводит к сглаживанию и затуханию решения за счет сеточной вязкости, причем ложные возмущения в моменты прихода фронтального разрыва незначительны. Интересно отметить, что даже в такой короткой и относительно толстостенной оболочке характер изменения осевых деформаций может быть удовлетворительно описан стержневой моделью только на протяжении времени, за которое возмущение, распространяющееся со скоростью продольных волн, пробегает расстоя-



Фиг. 3



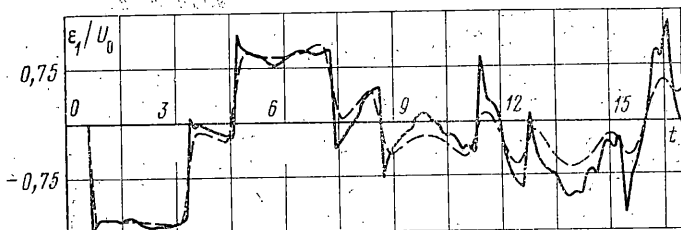
Фиг. 4

ние, равное четырем длинам оболочки. Далее за счет взаимного наложения трех групп возмущений деформация ε_1 принимает сложный, оболочечный характер.

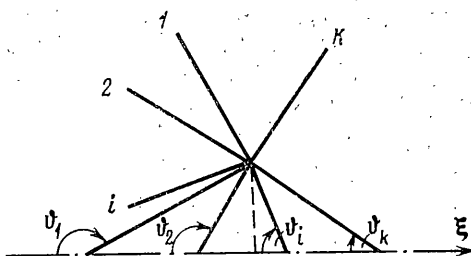
3. Использование соотношений на характеристиках дает, как известно, удобную возможность корректной постановки граничных условий [15], в том числе и на границах сложного вида.

Рассмотрим, например, стык K оболочек (фиг. 6). Условия совместности перемещений в плоскости стыка имеют вид

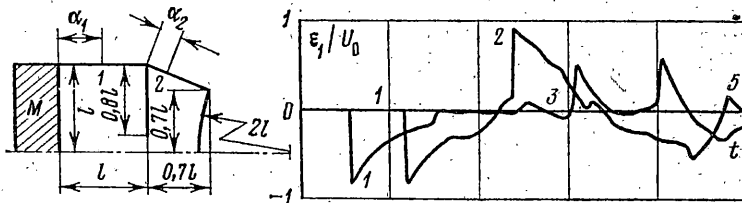
$$L_K = D_{K,i} L_i, \quad \Phi^k = \Phi^i \quad (i=1, 2, \dots, k-1) \quad (3.1)$$



Фиг. 5



Фиг. 6



Фиг. 7

Условия равновесия стыка

$$R_K = \sum_{i=1}^{K-1} S_{Ki} D_{Ki} R_i, \quad M_1^k = \sum_{i=1}^{K-1} S_{ki} M_i^i \quad (3.2)$$

$$D_{ij} = \begin{vmatrix} \cos \beta_{ij} & -\sin \beta_{ij} \\ \sin \beta_{ij} & \cos \beta_{ij} \end{vmatrix}, \quad L_i = \begin{vmatrix} U^i \\ W^i \end{vmatrix}, \quad R_i = \begin{vmatrix} N_1^i \\ T^i \end{vmatrix}$$

$$\beta_{ij} = \theta_i - \theta_j, \quad S_{ij} = -r^i r^j$$

Верхний индекс указывает, к какой оболочке относится параметр, r^i определяется так же, как в (2.4).

Вместе с соотношениями на характеристиках (2.4) уравнения (3.1), (3.2), образуют систему $6K$ уравнений для определения $6K$ неизвестных на промежуточном слое: $N_1^i, U^i, T^i, W^i, M_i^i, \Phi^i$ ($i=1, \dots, K$).

Вообщe, на любой границе многосвязной оболочечной конструкции всегда имеется k кинематических условий и $m/2-k$ статических условий, где m — число неизвестных параметров в граничных узлах на промежуточном слое. Если учесть $m/2$ соотношений на характеристиках, то получим систему m уравнений для m неизвестных.

На фиг. 7 показаны результаты расчета деформаций в точках 1 (кривая 1) и 2 (кривая 2) на внутренней поверхности составной оболочечной

конструкции. Расчет проводился по схеме 3, при этом принималось: $A_0 = -l$, $A_0/h_0 = 100$, $\Delta\alpha = \Delta t = 0,02$, $M = 0,5M_0$, где M_0 — масса цилиндрической оболочки, $\alpha_1 = 0,5$, $\alpha_2 = 0,2$. Толщина всех оболочек h_0 , толщина пластины $h_1 = h_0/2$. Число узлов вдоль образующей на цилиндрической оболочке — 50, на конической — 38, на сферической — 35, на пластине вдоль радиуса — 39. Переходный процесс обусловлен тем, что масса в момент времени $t=0$ имеет начальную скорость $U_0 = 10^{-3}$. Считается, что деформации в конструкции при $t=0$ отсутствуют.

ЛИТЕРАТУРА

1. Айнола Л. Я., Нигул У. К. Волновые процессы деформации упругих плит и оболочек. — Изв. АН ЭстССР. Сер. физ.-матем. и техн. н., 1965, т. 14, № 1, с. 3—63.
2. Нигул У. К., Петерсон М. Алгоритм метода трехмерных сеток для анализа динамических переходных процессов осесимметричной деформации цилиндрической оболочки. — Изв. АН ЭстССР. Сер. физ.-матем. и техн. н., 1966, т. 15, № 1, с. 31—35.
3. Nigul U. Three-dimensional shell theory of axially symmetric transient wave in a semi-infinite cylindrical shell. — Arch. mech. stosowanej, 1967, v. 19, № 6, p. 839—856.
4. Nigul U. Regions of effective application of the methods of three-dimensional and two-dimensional analysis of transient stress waves in shells and plates. — Internat. J. Solids Structures, 1969, v. 5, № 6, p. 607—627.
5. Годунов С. К., Забродин А. Б., Иванов М. Я. и др. Численное решение многомерных задач газовой динамики. М.: Наука, 1976. 400 с.
6. Рихтмайер Р., Мортон К. Разностные методы решения краевых задач. М.: Мир, 1972. 418 с.
7. Яценко Н. Н. Метод дробных шагов решения многомерных задач математической физики. Новосибирск: Наука, 1967. 172 с.
8. Вольмир А. С. Нелинейная динамика пластинон и оболочек. М.: Наука, 1972. 432 с.
9. Березин И. С., Жидков Н. П. Методы вычислений. Т. 1. М.: Физматиз, 1959. 464 с.
10. Колган В. П. Применение принципа минимальных значений производной к построению конечно-разностных схем для расчета разрывных решений газовой динамики. — Уч. зап. ЦАГИ, 1972, т. 3, № 6, с. 68—77.
11. Bercowitz H. M. Longitudinal impact of a semi-infinity elastic cylindrical shell. — Trans. ASME. Ser. E. J. Appl. Mech., 1963, v. 30, № 3, p. 347—354.
12. Малышев А. П. Волновые процессы в упругой тонкостенной цилиндрической оболочке при внезапном приложении силы к ее торцу. — Изв. АН СССР. МТТ, 1969, № 2, с. 138—141.
13. Chou P. C. Analysis of axisymmetrical motions of cylindrical shells by the method of characteristics. — AIAA Journal, 1968, v. 6, № 8, p. 1492—1497.
14. Малышев А. П., Паничкин В. И. Нелинейные волновые процессы в оболочках вращения. — Изв. АН СССР. МТТ, 1976, № 4, с. 175—178.
15. Годунов С. К. Уравнения математической физики. М.: Наука, 1971. 416 с.

Москва

Поступила в редакцию
19.VII.1979